

## 51 山腹土層の粒径成分とその土量変化

—東河内流域の土砂収支検討の前提として—

筑波大学農林工学系 ○真板秀二  
農林学系 内田煌二

### 1 はじめに

土砂の移動過程と渓流形態との関連を解明するため、大井川上流東河内流域内に設定した実験渓流において渓床変動量等の計測を続けていた。ところが1982年8月に数十年に一度といふような豪雨に出会い、主として崩壊地の拡大により山腹から大量の土砂が流出し、渓床の状況が一変した<sup>1)</sup>。このような大規模な土砂の移動は、流域の土砂収支を検討するうえで絶好の機会と言え、筆者らも土砂収支の検討をはじめている。ところで土砂収支式は(1)式のように表され、 $H$ と $V_1 - V_2$ (渓床変動量)の測定から $R$ を推算するのが通例である。

$$R = H - (V_2 - V_1) \quad \dots \dots (1)$$

$R$ : 対象区域外への流出土砂量( $m^3$ ),  $H$ : 対象区域内の崩壊地流出土砂量( $m^3$ ),  $V_1$ : 変動前の渓床堆積量( $m^3$ ),  $V_2$ : 変動後の渓床堆積量( $m^3$ )

この $R$ の推算にあたって注意しなければならないのは、 $H$ と $V_1 - V_2$ では隙間の量および粒径成分が大きく異なっており、見かけの体積をそのまま差し引きしたのでは誤りと考えられるとしてある。しかしこの土量換算に関する研究は、従来必ずしも十分に検討されていなかったと言ひ難いようである。そこで今回、東河内流域の土砂収支を検討する前段として土量換算について考えてみた。

### 2 調査の方法

#### 2・1 山腹土層

林野土壤調査法による内田らの調査データ<sup>3)</sup>の活用を試みた。この際問題になるのは、土壤サンプルが断面積 $1000\text{cm}^2$ 、高さ $4\text{cm}$ の円筒採土管で採取されているため、我々が必要とする土層のひろがりよりかなり小さいひろがりでの土壤組成データであることである。このため礫成分の含有量が過少に評価されている可能性が強く、このチェックと補正が必要である。そこで新たに堆積様式別に断面積 $1000\text{cm}^2$ 程度で $20\sim30\text{cm}$ の深さにわたりA, B層の土壤を採取(これを大土量サンプルと呼ぶ)し、粒径分布を調べた。また崩壊地については、以前の調査<sup>4)</sup>で流送部の土層の粒径分布を調べてあり、このデータを利用した。

#### 2・2 渓床堆積物

1982年の8月の豪雨によって一面に渓床土昇をおこした堆積物の表面に $6,000\sim10,000\text{cm}^3$ の穴を掘り、水置換法によって容積を測定し、隙間量を算定した。また粒径分布も調べた。

### 3 結果と考察

#### 3・1 粒径分布とwash load成分

山腹土層(大土量サンプル)と渓床堆積物の粒径加積曲線の一例を示したのが図-1である。当然のことながら粒径分布には大きな違いが示されている。また、図-1から山腹土層と渓床堆積物のwash load成分の量を読みとることができ。ここで問題は、wash load成分の限界粒径をいくらくどかである。村本ら<sup>5)</sup>は $0.2\text{mm}$ 、江頭ら<sup>6)</sup>は $0.1\text{mm}$ をその限界粒径としている。今回は林野土壤調査法によるデータを使用する便宜上 $0.2\text{mm}$ の値を採用することとした。従って $\phi$ スケール

では wash load 成分に対応するのはほぼ 2% 以下の成分である。以上から山腹土層と渓床堆積物の wash load 成分の量を検討すると、山腹土層が固相に対する重量比で 20% 以上であるのにに対して渓床堆積物で 1% 以下となり、当調査の渓床堆積物については wash load 成分をほとんど無視しても良いと言える。このことは逆に 0.2mm を限界粒径としたことが、ほぼ妥当であったことを示すところとなる。

### 3・ス・2 林野土壤調査法によるデータの活用法

#### 3・ス・2・1 開隙量

内田<sup>(3)</sup>は東河内流域に 86 の試孔点を選定し、1m 程度までの深さで前述の円筒採土管によるサンプル土壤の採取を行い、土(2mm 以下)、砾、根の固相と孔隙量(開隙量)および土の機械的組成を調べている。このデータから土( $V_s$ )に対する開隙量( $V_n$ )の体積比と砾( $V_g$ )に対する開隙量の体積比との関係を示したのが図-2 である。図-2 では  $V_n/V_s$  が  $3.9 \pm 0.7$  のほぼ一定の値を示すのにに対して、 $V_g/V_s$  の値が極めて大きくバラツクことを示している。これは開隙(但し砾内部の開隙は考慮しない)が土によって支配されていることを意味する。また、 $V_n/V_s$  の値は飼行土、残積土といった堆積様式による違いをほとんど認められない。このことから山腹土層においては、土と開隙量の間に(2)式のような関係が成立し、土の量が判明すれば開隙量の推定が可能になる。

$$V_n = 3.9 V_s \dots (2)$$

#### 3・ス・2・2 円筒採土管による土壤サンプルデータの砾成分の補正

図-3 は円筒採土管によるサンプルと大土量サンプルおよび崩壊地サンプルの  $V_g/V_s$  の値を示したものである。円筒採土管によるサンプルでは、明らかに砾成分が過少に評価されており、この補正が必要になる。補正方法として砾成分が土成分に対して表示されれば都合が良い。図-3 からわかるように  $V_g/V_s$  の値にはかなりバラツキがあること、山腹土層の大土量サンプルについてはその数が少ないことと問題点は残されているが、一応の目安を得る意味で  $V_g/V_s$  の平均値を使うことにして、大土量サンプルの平均値が 1.8、崩壊地流逃部の平均値が 3.5 であるのと、山腹土層の砾成分は(3)式

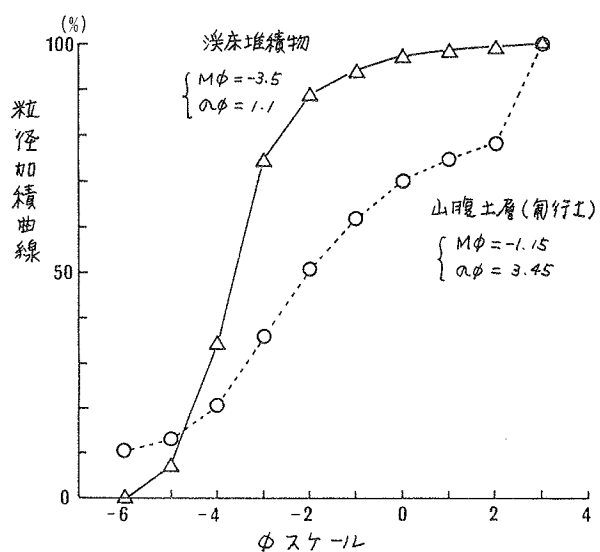


図-1 山腹土層と渓床堆積物の粒径加積曲線

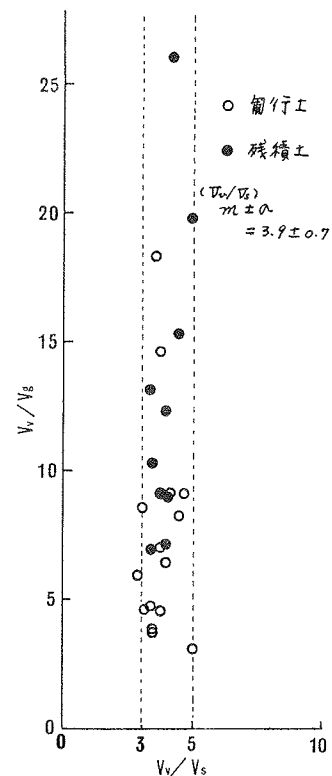


図-2  $V_n/V_s$  と  $V_g/V_s$  との関係

により、崩壊地流送部の礫成分は(4)式により推定できることになる。 $V_g = 1.8 V_s$  ---- (3)

$$V_g = 1.8 V_s \quad \dots \quad (3)$$

$$V_g = 3.5 V_s \dots \dots \quad (4)$$

### 3.2.3 根量

山腹土層の根量( $V_T$ )は、土および礫の量に比べて極めて微少量で無視し得るほどのものであるが、円筒形土管によるサンプルでは体/ $V_S$ の値が0.05~0.04と得られているので、土成分に対して一応(5)式のように表示することができる。崩壊地流送部については根量はさらに少ないと考えられるので、 $V_T=0$ とする。

$$\overline{V}_f = 0.05 \overline{V}_s \dots \dots \quad (5)$$

### 3.3 土量变化

### 3.3.1 混床堆積物の間隙率

洗床堆積物の間隙率を2ヶ所で調べた。この結果、  
23%，25%の値が得られた。計測の精度を考慮  
すると高くないとサンプル数も少ないとからこれら一  
つの目安ということになるが、東河内流域の粒径の比  
は5%前後と考えることができる。

### 3.3.2 山腹土層の模式的組成

土の機械的組成は林野上壤調査法による東城内流域のデータでは、粗砂(2~0.2mm)が体積比で $8.3 \pm 5.7\%$ 、細砂以下( $0.2\text{mm}$ 以下)が $71.7 \pm 5.9\%$ である。また、崩壊地流送部では、 $2\sim 0.25\text{mm}$ の成分が体積比で $65.1 \pm 5.0\%$ 、 $0.25\text{mm}$ 以下の成分が $34.9 \pm 5.0\%$ である。(3)~(5)式より山腹土層の模式的な固相組成および间隙量が得られるので、土の機械的組成を考えあわせれば、山腹土層の模式的な物理組成を表わせることになる。この結果を示したのが表-1である。なお、表-1の細砂

以下は wash load 成分に相当するので、固相中に占める wash load 成分の体積比は山腹土層で 3.3%、崩壊地流送部で 7.7% となる。

### 3.3.3 山腹土層が崩れて溪床に堆積する際の土量変化

仮りに 1 m<sup>3</sup> の山腹土層が崩れ、幾度変動に  
関与しない wash load 成分以外がすべて  
洗浄して堆積した場合の土量変化を考えてみると  
と表-2 のようになる。表-2 は、(1) 式の  
適用にあたって H と  $D_2 - D_1$  の見かけの体積を  
そのまま差し引きするのは大きな誤りである。

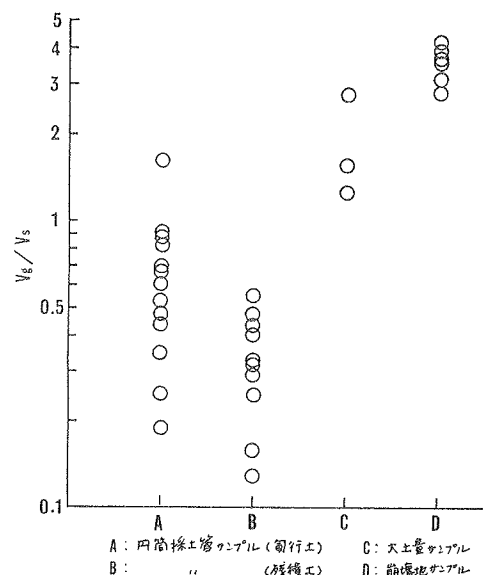


図-3 ガンプル量の違いによる  $\bar{V}_g/V_s$  値  
の違い

表一-1 山腹土層の模式的物理組成

	固 相			固相中占 的 wash load 成分
	D <sub>s</sub>	D <sub>g</sub>	D <sub>r</sub>	
山腹土层	14.8	26.7	0.7	57.8 粗砂 粗砂以下
崩塌地 (流送部)	11.9	41.7	0	46.4 65.1 34.9 2.7 单位 体積%

### 表-2 土量変化の一例

	山腹土層	溪床堆積物	崩壞地流送部	溪床堆積物
固 相	$V_b$ $0.136$ $0.012$	$m^3$ $0.148$	$m^3$ $0.012$	$m^3$ $0.042$ $0.077$
	$V_b$	$0.267$	$0.267$	$0.417$
	$V_r$	$0.007$	$0.007$	$0$
固 體 量		$(0.012 + 0.267 + 0.007)$ $\times \frac{25}{75} = 0.095$		$(0.042 + 0.417)$ $\times \frac{25}{75} = 0.165$
言	1	0.381	1	0.659

ことを示している。また、(1)式は山腹土層あるいは渓床堆積物の固相部分に適用してはじめて正しいものとなることも示している。

### 3・3・4 wash load成分を分離した土砂收支式と土量変換係数

wash load成分は渓床変動に関与しないので、これを分離して土砂收支を考えるほうがより明確に問題を把握できる。そこでwash load成分を分離して(1)式を表現すれば(1)'式のようになる。さらに(1)'式はダム域以外では、(6), (7)式のように表わせる。(1)'式および(6), (7)式とともに(1)式と同様に、山腹土層あるいは渓床堆積物の固相部分に適用してはじめて正しいものとなる。従って、これらの式により土砂收支を検討するためには、山腹土層あるいは渓床堆積物の見かけ体積に対する固相部分の土量変換係数がwash load成分も考慮して求められていることが前提となる。

表-3は、山腹土層の模式的物理組成(表-1)より東河内流域での土量変換係数を求めたものである。

表-3 土量変換係数

$$R_b + R_w = H_b + H_w - (V_b - V_f) \quad \dots \quad (1)$$

$$\{ R_b = H_b - (V_b - V_f) \quad \dots \quad (6) \quad \text{但し, } R = R_b + R_w$$

$$\{ R_w = H_w \quad \dots \quad (7) \quad H = H_b + H_w$$

$H_b$ : 山腹土層中のwash load成分以外の量

$H_w$ : 山腹土層中のwash load成分の量

	山腹土層	崩壊地流域	渓床堆積物
見かけ体積	1	1	1
固相 組成 系数	wash load 成分 0.147 上記以外 0.283	0.04 0.49 0.53	0.75 0.75
R <sub>b</sub>			

$R_w$ : wash load成分の対象区域外への流出量

流出する量

### 4 おわりに

今回の報告は、山腹土層に限られており、岩盤が削られた際の土量変化については別途検討する必要がある。また、大土量のサンプル数あるいは渓床堆積物の間隙率測定のサンプル数が少ないので、今後サンプル数を増やす必要がある。しかし、土砂收支式は山腹土層あるいは渓床堆積物の固相部分に対して適用すべきとの指摘、wash load成分を分離した(1)'式あるいは(6), (7)式の提案は、これからの大河内流域の土砂收支検討をより明確なものにさせるであろう。最後になつたが、現地調査に対して多大の御便宜を計り下さった砂坂元草氏はじめとする筑波大学農林技術センター井川演習林の職員の皆様に心よりお礼申し上げる。

### 引用文献

- 1) 梶原秀二ほか: 渓流河道における土砂の自然調節量の実測例, 94回日誌論, 1983
- 2) 武居有恒ほか: 地すべり・崩壊・土石流, 鹿島出版会, 1980
- 3) 佐田煌二・中村義司: 大井川流域の崩壊, 文部省科研報告書, 1980
- 4) 梶原秀二: 崩壊地における岩屑の移動・堆積と植生侵入, 砂防学会発表概要集, 1983
- 5) 村本嘉雄ほか: 大戸川における微細土砂の流逝過程について, 京大防災研年報16B, 1973
- 6) 江頭進治・芦田和雄: 山地流域における微細土砂の生産場と流出過程に関する研究, 京大防災研年報24B, 1981